

海岸堤防前面に設置したブロック堤の消波および洗掘防止効果について

高知大学農学部正員 玉井 佐一  
高知大学大学院 沢本 尚徳  
兵庫 豊 権田 宏治

1. まなご

海岸堤防前面に設置するブロック堤の効用は消波と堤防前面域の洗掘防止にある。本研究は特に荒天時波浪を対象に、海岸堤防前面域に設置するブロック堤の消波および洗掘防止の効果を設置条件を系統的に考察したものである。

2. 実験設備および実験手法

実験には長さ20m幅5m、深さ70cmの平面波水槽を用いた。この水槽の一端に中央粒径 $d_{50}=0.36mm$ の自然砂による勾配 $\alpha=1/15$ の砂浜を構築し、この砂浜上には前法個勾配1:0.5、砂浜上高20cmの海岸堤防模型を設置した。海岸堤防前面に設置するブロック堤は平均質量62.2kg/個の「テトラポッド」を乱積(空隙率平均53.7%)とし、この基礎に平均径1~2cmの石を敷きつめた。ブロック堤の敷幅 $B=16\sim 30cm$ 、天端幅平均8cm、ブロック堤天端高は静水面上 $(0.7\sim 0.8)H$ である。海岸堤防前面のブロック堤の設置条件は堤防法面に沿って設置した場合離岸距離 $L_p=0, 6, 10, 20$ および $30cm$ とブロック堤を設置しない場合の7ケースとした。波周期 $T=1.41sec$ 、砕波波高 $H_b=12\sim 16cm$ とし、堤脚水深 $h_f=2.0$ および $4.0cm$ とした。

3. 実験結果とその考察

(1) ブロック堤遮蔽域内波高 造波時にブロック堤遮蔽域以内の地盤においてブロック通過波高を測定し、平均値を求め、この波高を $H_i$ とした。 $H_i$ と $H_o$ の比 $H_i/H_o$ を縦軸に、横軸には海岸堤防法面からブロック堤側法面までの距離(離岸距離) $L_p$ と砕波帯幅 $L_b$ との比 $L_p/L_b$ をとつて図-1に示す。これよりわかるように、ブロック堤の離岸距離が小さいほど $H_i/H_o$ の値が大きくなり、離岸距離 $L_p$ が大きくなるほど $H_i/H_o$ の値は小さくなり、実験の若干は減衰曲線と一致する。図中翼の記号(●)は波がブロック堤を越波している場合(天端高 $(0.3\sim 0.5)H$ )の $H_i/H_o$ を示す。一定の $H_i/H_o$ は $0.11\sim 0.13$ を示す。この値は $L_p=10cm$ の場合とほぼ同じ値を示すことから、越波している場合と非相対の消波効果は同じである。本研究のついで、砕波後の波がブロック堤を通過する状態では消波効果がかなり大きく、 $H_i$ は $(0.05\sim 0.15)H_o$ となることをわかった。

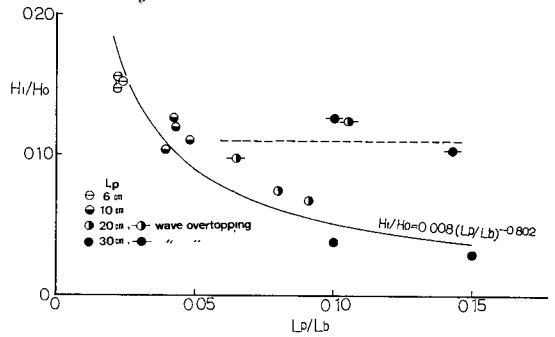


図-1

(2) 海岸堤防法面への波の迎上

海岸堤防法面上の迎上波の静水面上の高さ $R$ と $H_o$ との比 $R/H_o$ を縦軸に、横軸にはブロック堤離岸距離 $L_p$ とブロック堤敷幅 $B$ との和を示す。ブロック堤沖側法面までの距離 $L_p+B$ と砕波帯幅 $L_b$ との比 $(L_p+B)/L_b$ をとつて図-2に示した。このブロック堤を設置しない場合と、ブロック堤を設置した場合に、 $R/H_o \leq 0.5$ と本研究の若干は砕波後の波が入射する場合に $L_p=0$ の場合とほぼ同じブロック堤設置法面に沿って設置した場合(●印)の $R/H_o$ の値は $0.1\sim 0.2$ と小さい。

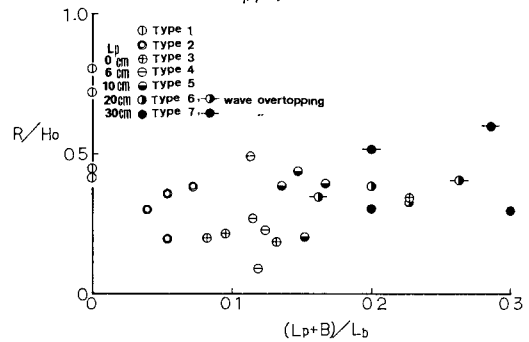
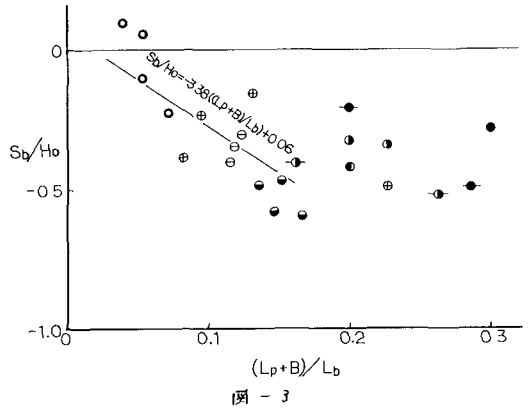


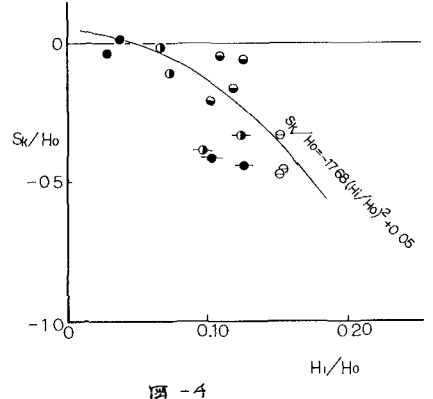
図-2

(3) ブロック堤前面の洗掘 図-3は総離岸距離にブロック堤前面法面の最大洗掘深 $S_b$ と $H_o$ との比 $S_b/H_o$ を示す。横軸

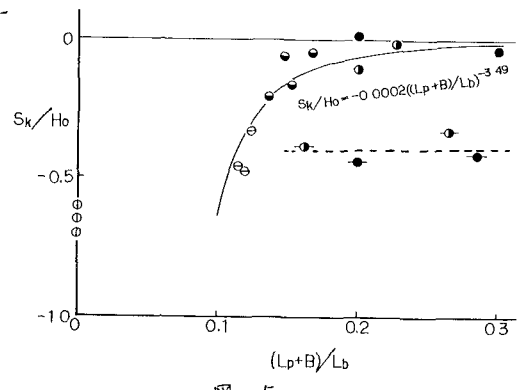
に上記同様  $(L_p+B)/L_b$  をとって 2 年ごとのデータを比較し、  
 には、ブロッグを海岸堤防に沿わせて設置した場合  
 (④) 洗掘深  $S_b$  が小さく、僅かに堆積のみがみられる場合も  
 ある。一方、 $(L_p+B)/L_b$  が大きくなるにつれて、  
 $-S_b/H_0$  の値が増大してゆく。 $(L_p+B)/L_b \leq 0.15$  の場合  
 最大値のみがみられる。また、 $L_p=10\text{cm}$  の場合  $S_b/H_0$   
 $= -0.5 \sim -0.6$  を示し、最も洗掘深が大きくなっている。  
 $(L_p+B)/L_b > 0.15$  とするとき、洗掘深は次第に減少する  
 傾向を示す一定値を示すようになる。



(4) 海岸堤防脚部の洗掘 海岸堤防脚部の最大洗掘深  $S_K$   
 と  $H_0$  との比  $S_K/H_0$  を縦軸に、横軸にはブロッグ堤防域内波高  $H_i$  と  $H_0$   
 との比  $H_i/H_0$  をとって図-4 に示した。これによると  $H_i/H_0$  が大き  
 くなるにつれて洗掘深が大きくなる。この中で洗掘深が最も大き  
 いのはブロッグ堤防の離岸距離  $L_p=3\text{cm}$  (④) の  $S_K/H_0 = -0.5 \sim -0.8$  を示す。  
 一方、 $L_p=30\text{cm}$  の場合洗掘深は小さく、ブロッグ堤防を越えて発生し  
 ている洗掘深が小さくなり、 $S_K/H_0 = -0.4$  を示す。図-5 は縦軸に上記同  
 様  $S_K/H_0$  を、横軸に  $(L_p+B)/L_b$  をとって 2 年ごとの図にはブロッグを  
 設置している場合も併せて示した。これによるとブロッグ堤防を設置してい  
 る場合  $S_K/H_0 = -0.6 \sim -0.7$  を示す。したがって、ブロッグ堤防を設置するに  
 しては、堤防洗掘を軽減する効果が大きい。特に、離岸距離  $L_p$   
 $10 \sim 30\text{cm}$  の場合、最もその効果が顕著であり、 $S_K/H_0 = 0 \sim$   
 $-0.2$  を示す。なお、ブロッグ堤防を越えて発生する場合 ( $0.3 \sim 0.5 H$ )  
 には  $S_K/H_0 = -0.4$  の一定値を示し、これは  $L_p=30\text{cm}$  の  
 場合に対応している。



海岸堤防脚部の洗掘について、従来の実験結果とを併  
 せて図-6 に示す。横軸は海況変化後の破波長さ  $l_b$  の平  
 均分配  $I_B$  に基づくイリバーレン数  $I_B = l_b/(H_0/L_0)^{1/2}$  を  
 とって 2 年ごとの図中 ●印が従来の実験結果であり、○印  
 が今回の実験結果である。これらより結果から  $I_B = 0.6 \sim 0.75$   
 に脚部の洗掘と堆積との境界がみられる。なお、海岸堤  
 防前部にブロッグ堤防を設置している場合には  $I_B = 0.5 \sim 0.6$   
 がその境界値であった。



4. あとがき  
 以上のより、本実験では海岸堤防前部に水深と等しい  
 水深に長大時の比較的大きな波が破波して入る場合  
 のブロッグ堤防の消波効果と堤防洗掘について検討した  
 のである。今後、海況分配の波特性を考慮した実験を  
 行い、堤防前部に堆積を促すようなブロッグ堤防の構造  
 等について検討を進める。文献) 玉井、昭60年土木学会中  
 国支部会 2) 玉井、昭60年、自然災害科学研究(代表と研究)

